

FIG. 1

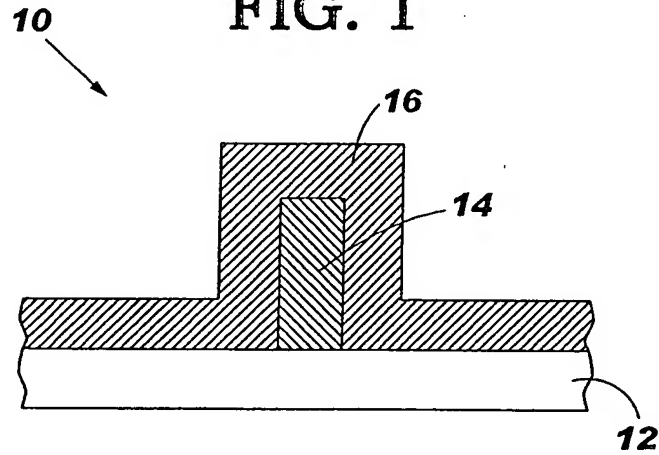


FIG. 2

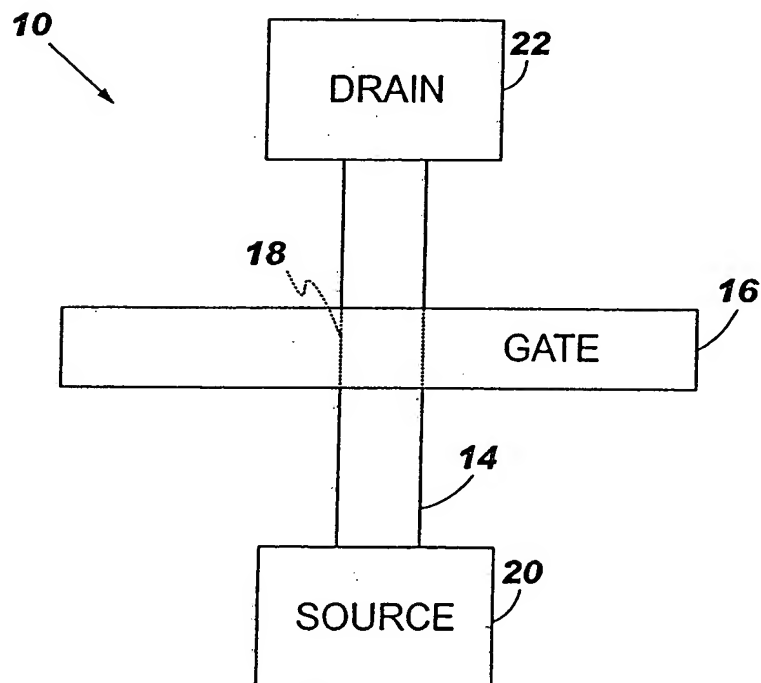


FIG. 3

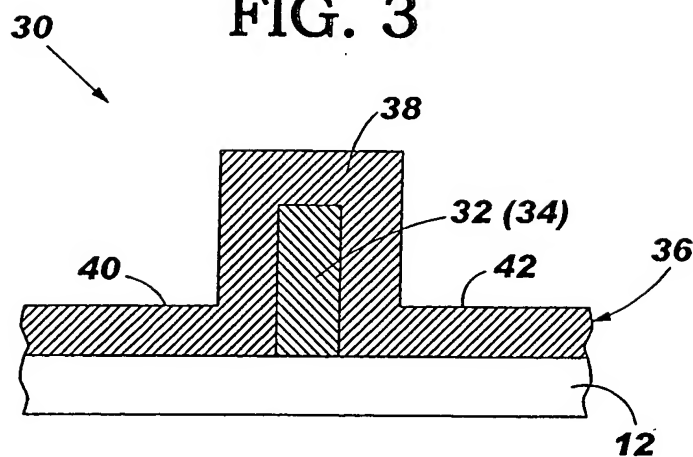


FIG. 4

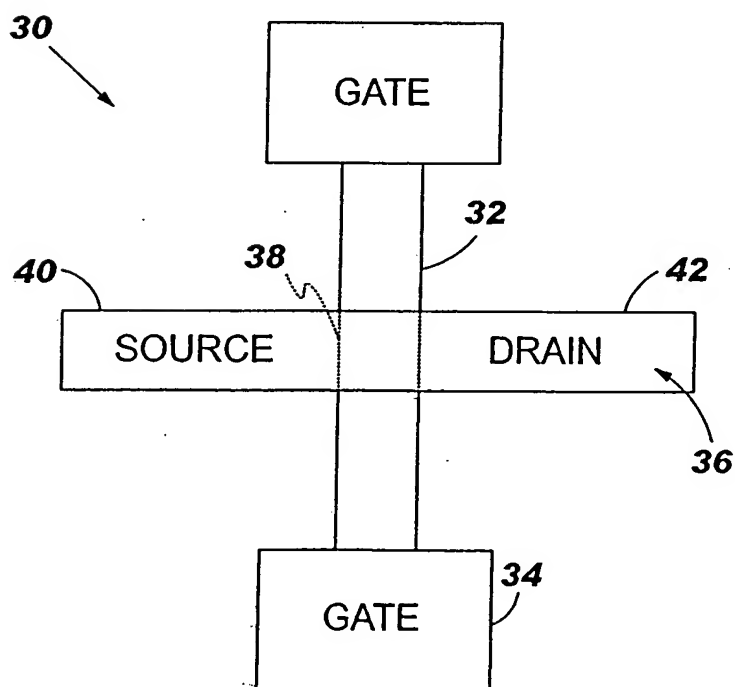


FIG. 5

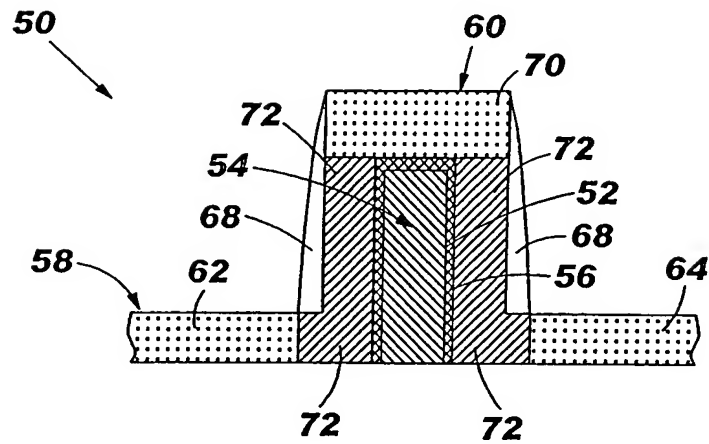


FIG. 6

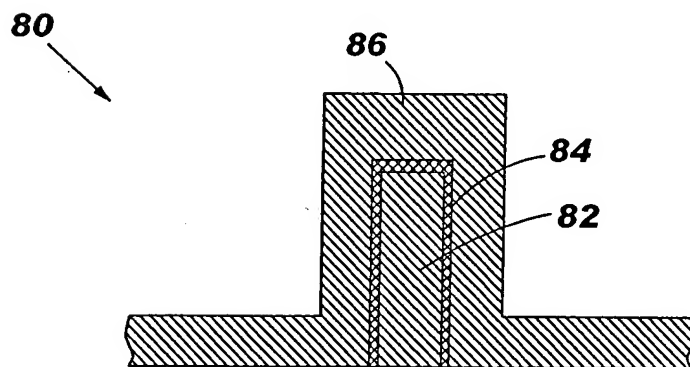


FIG. 7

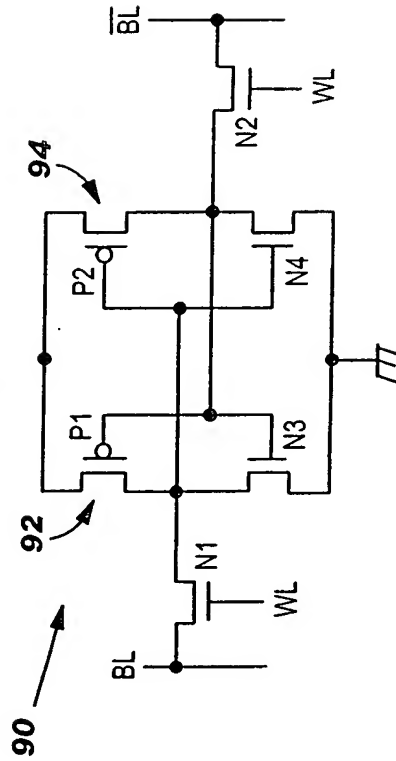
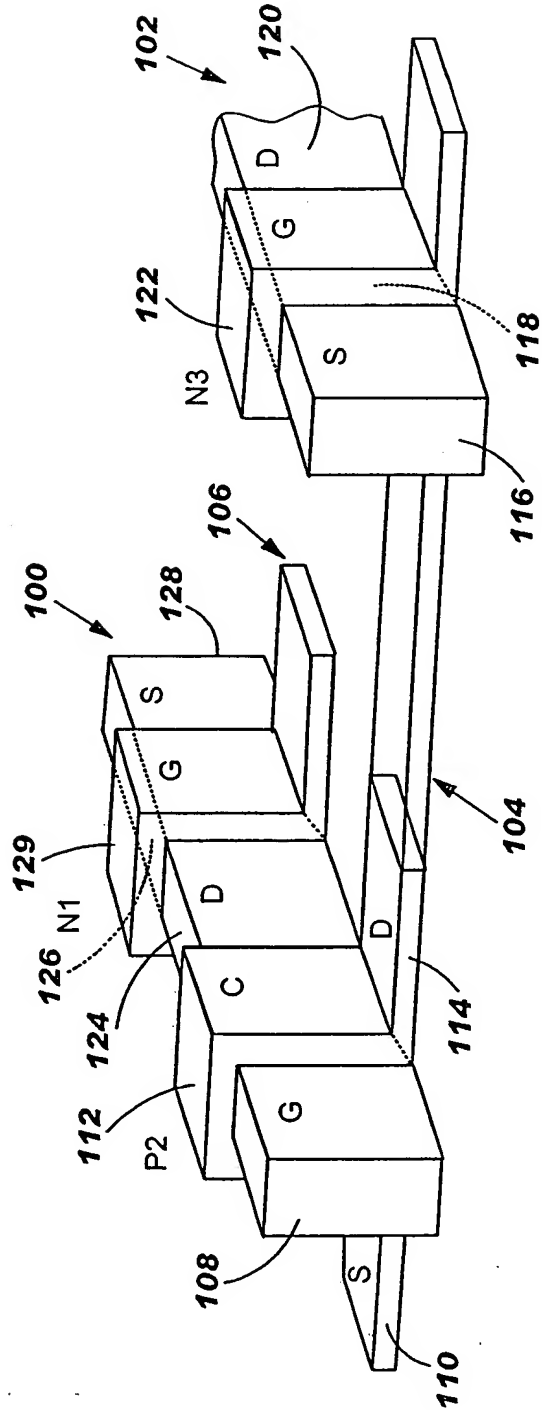


FIG. 8



BUR920020012US1  
Breitwisch et al.  
5/12

FIG. 9

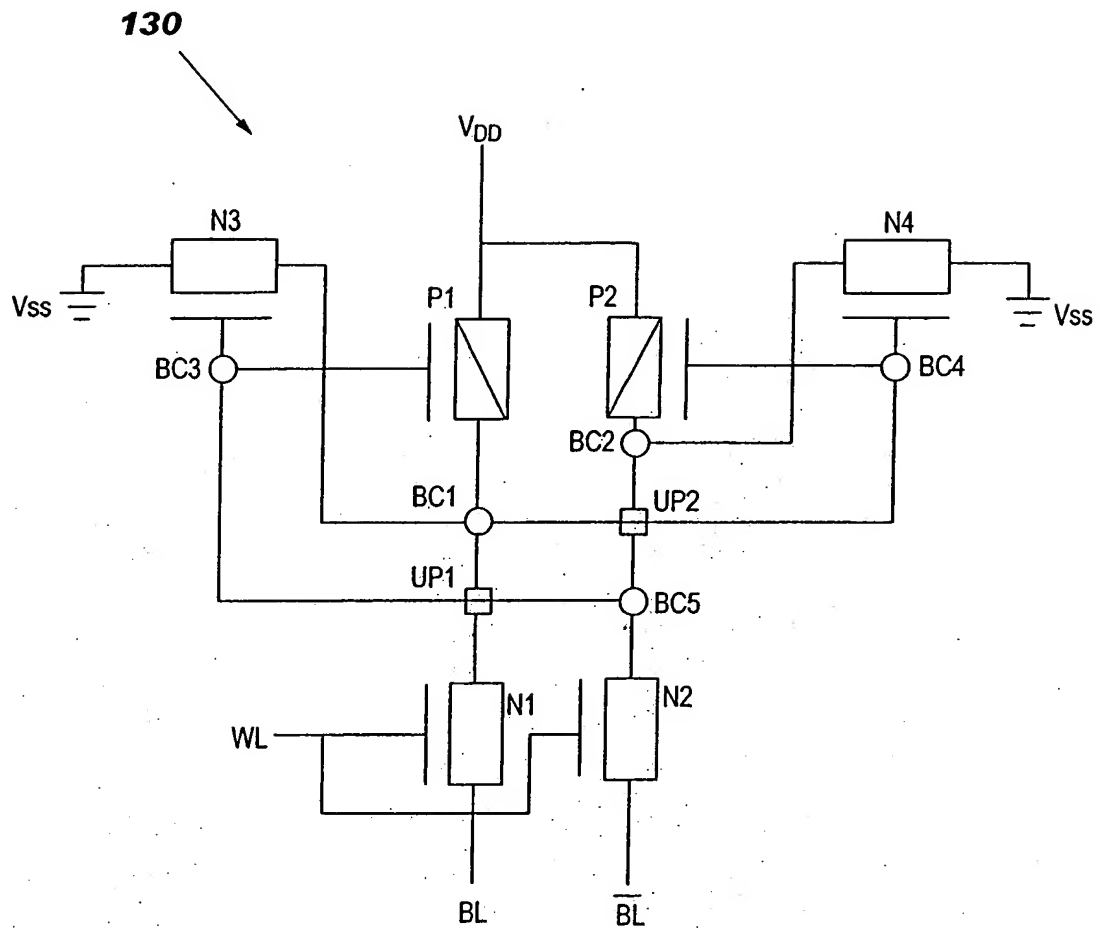


FIG. 10

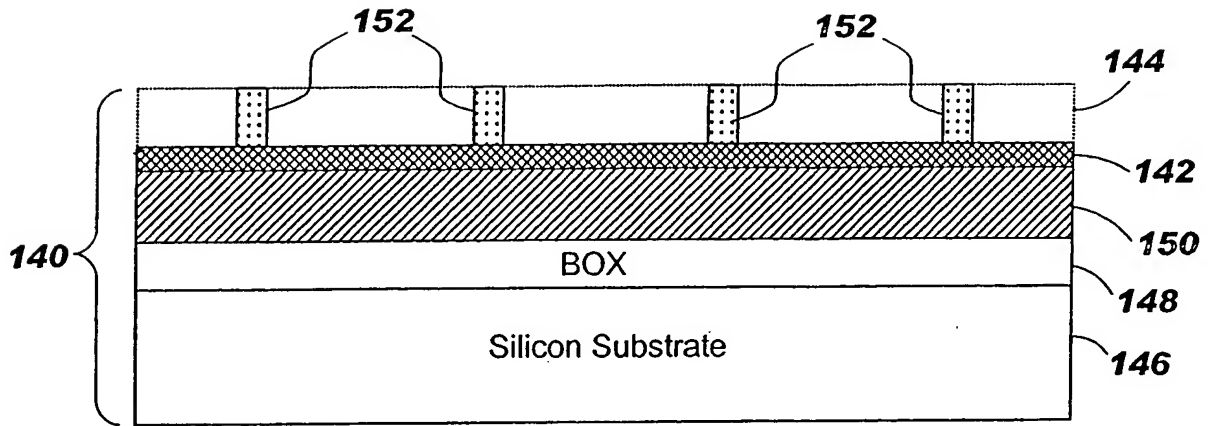


FIG. 11

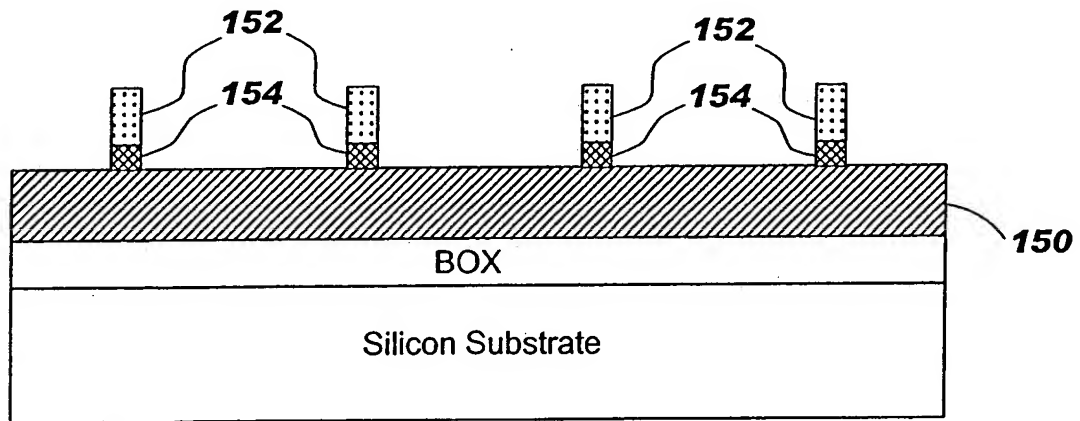
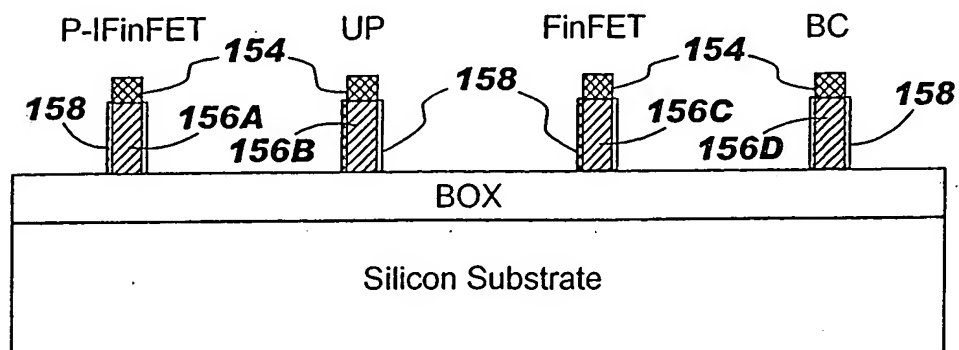


FIG. 12



7/12

FIG. 13

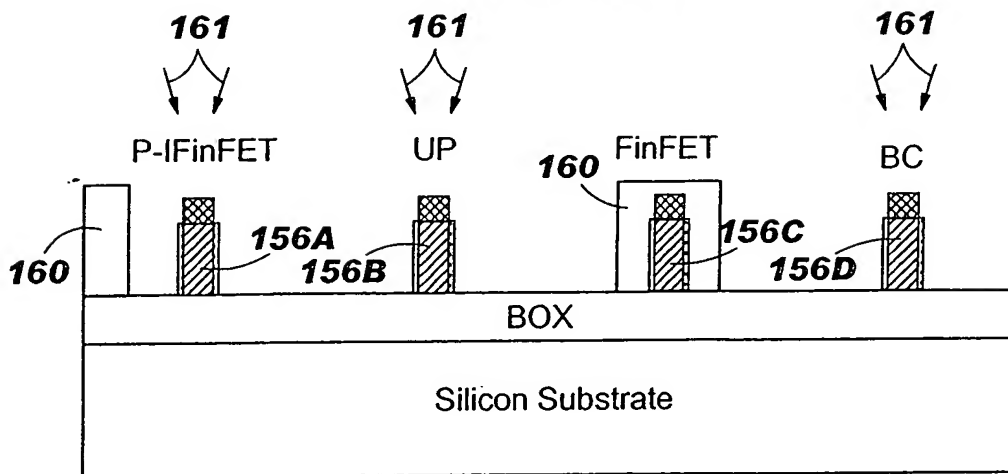


FIG. 14

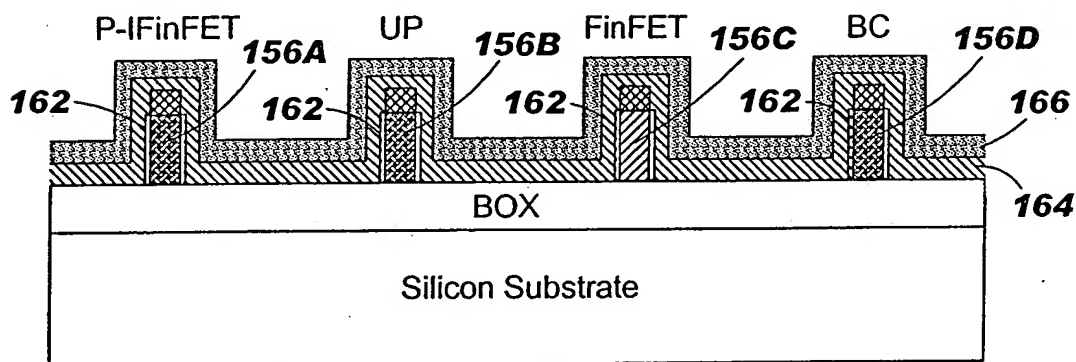
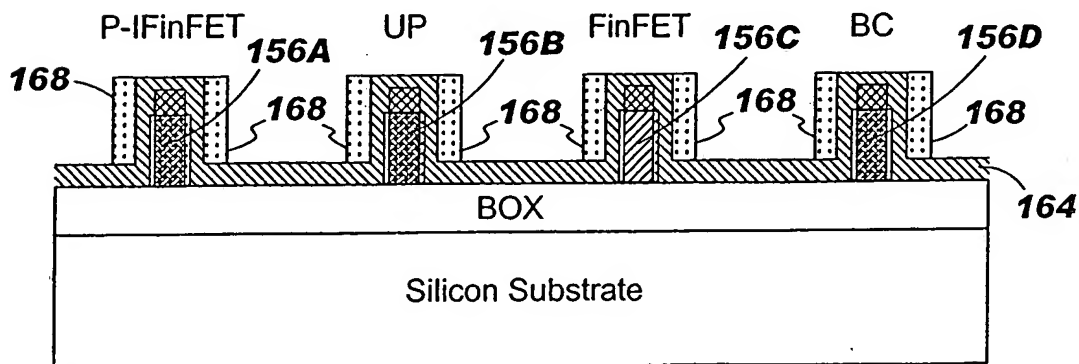
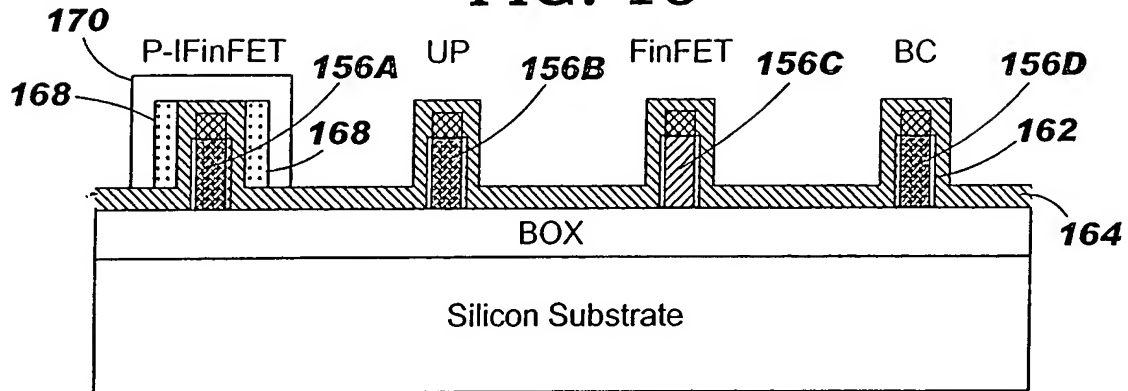
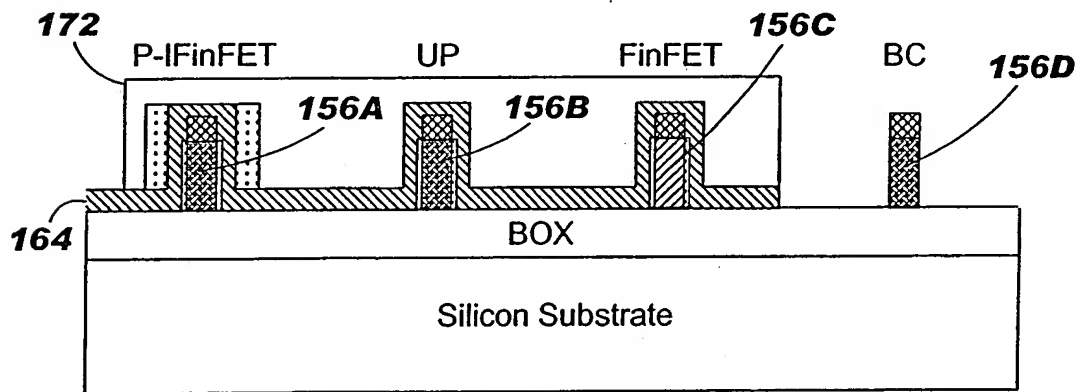
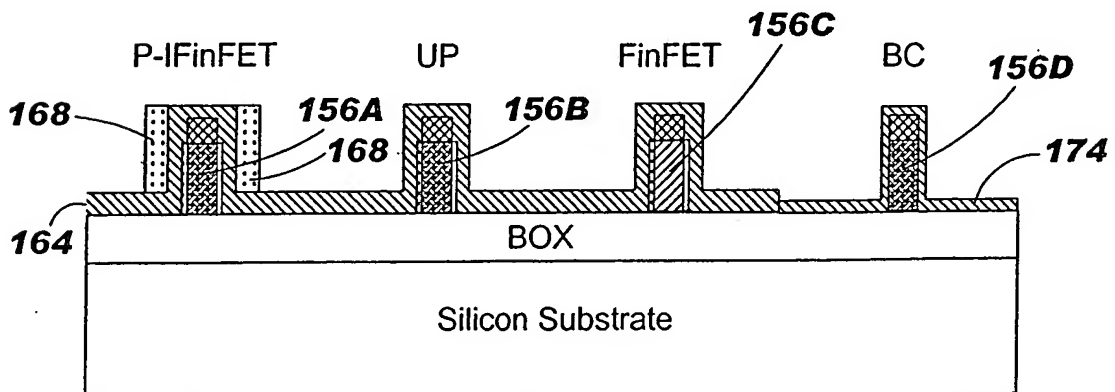


FIG. 15



BUR920020012US1  
Breitwisch et al.  
8/12

**FIG. 16****FIG. 17****FIG. 18**



9/12

FIG. 19

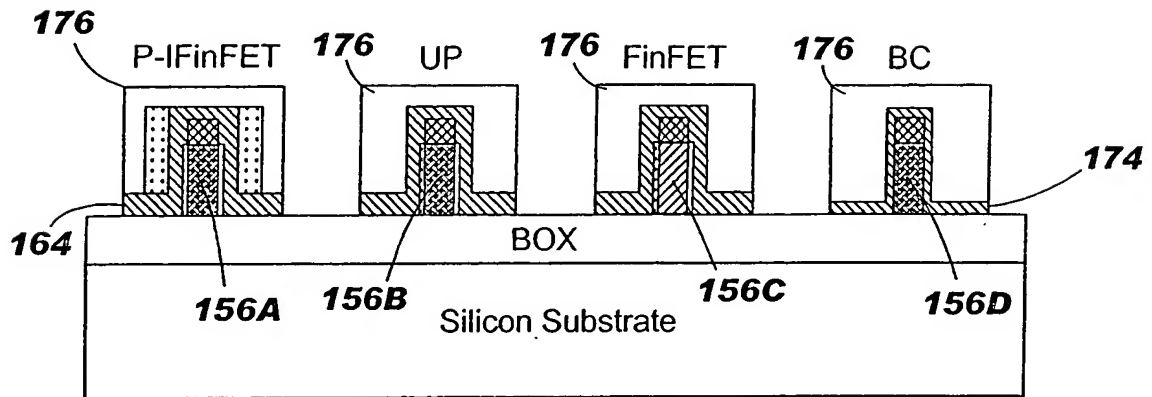


FIG. 20

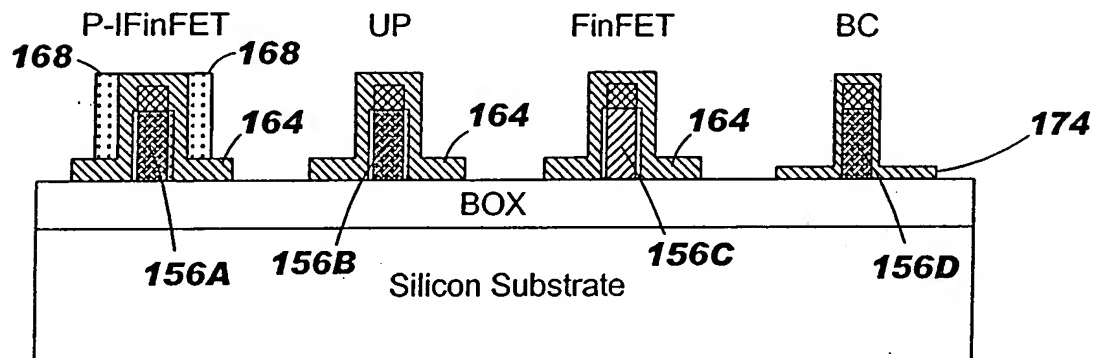
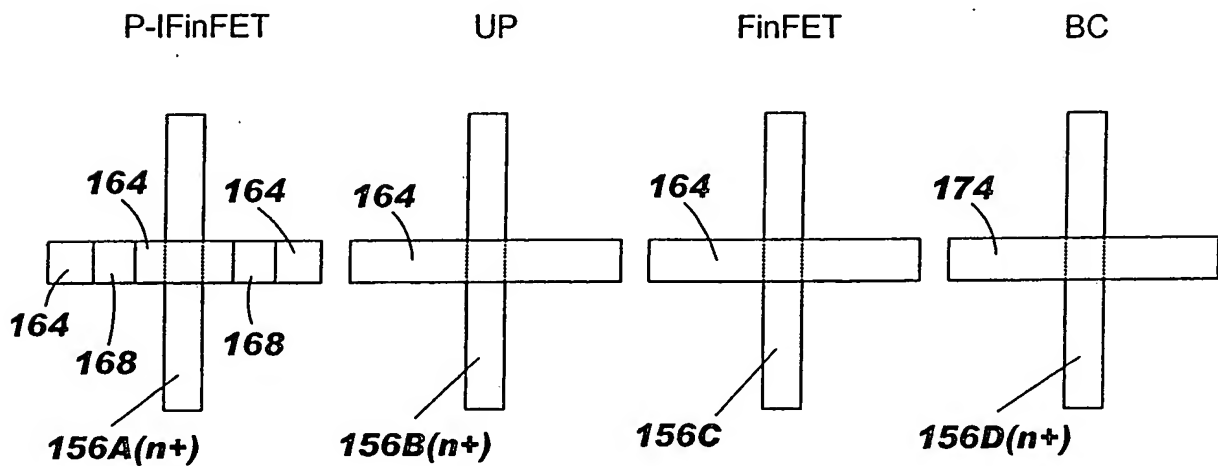


FIG. 21



10/12

FIG. 22

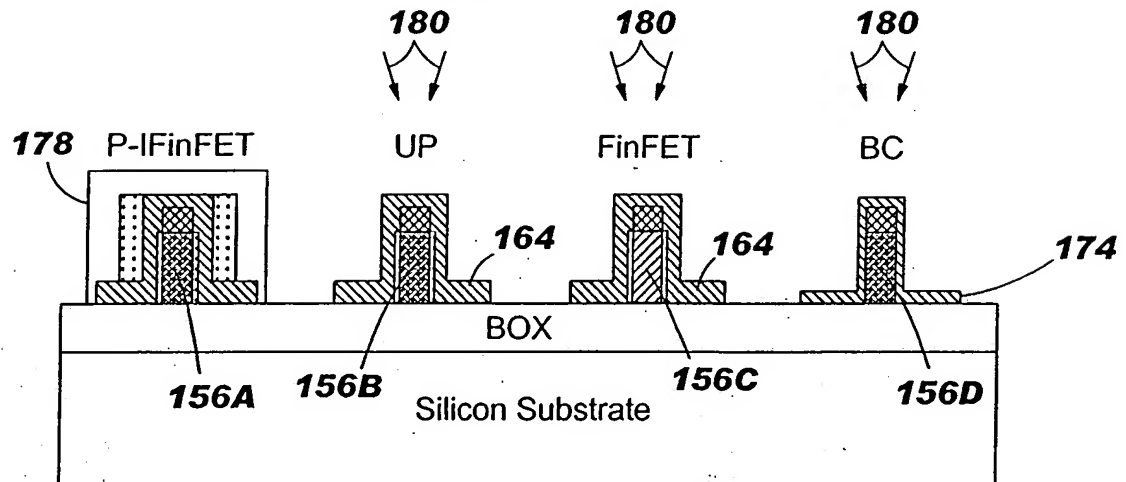
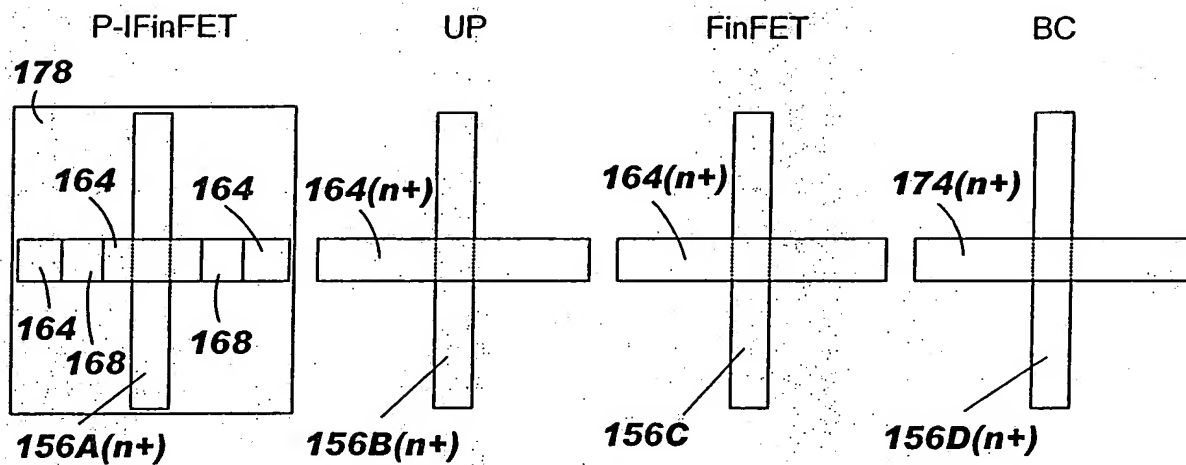


FIG. 23



11/12

FIG. 24

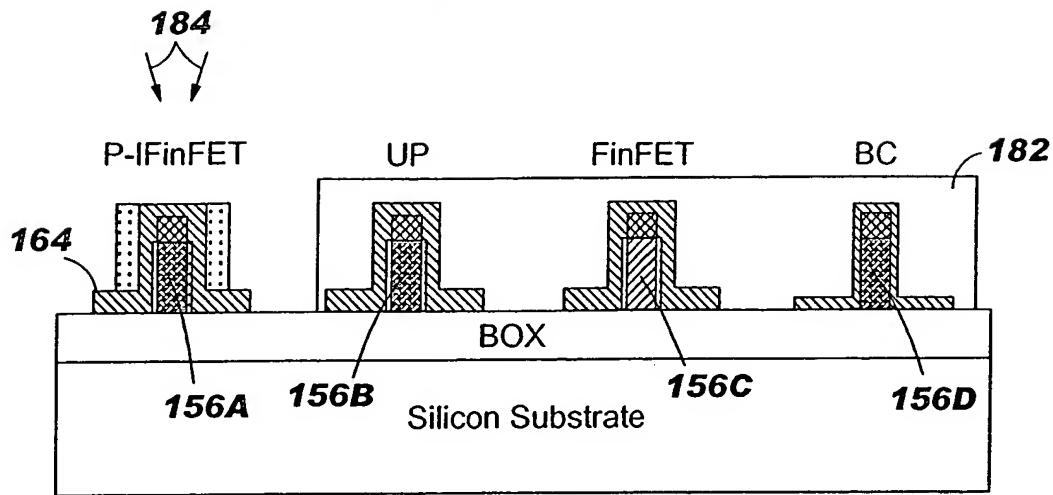


FIG. 25

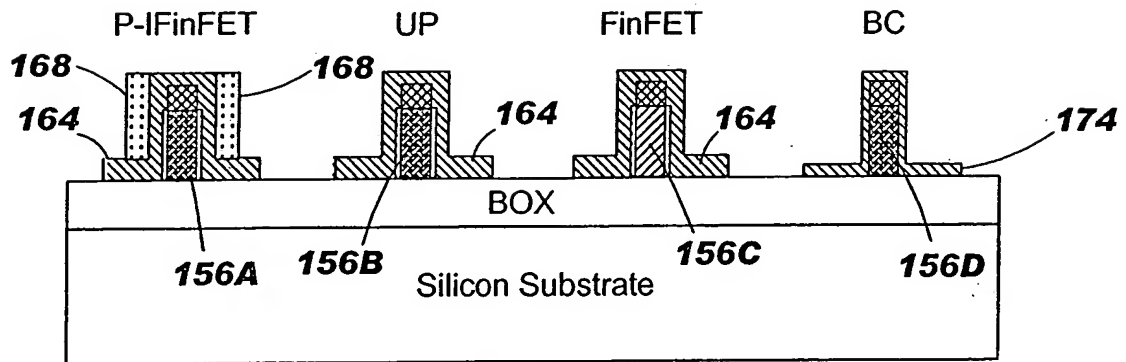


FIG. 26

